

ство $1,42 \langle \dot{\varepsilon} \rangle^* \kappa \geq \xi_{\dot{\varepsilon}}^0$ или, поскольку $\langle \dot{\varepsilon} \rangle^* \geq 1$ ($\partial \sigma / \partial t < 0$),

$$(3.3) \quad \kappa > \xi_{\dot{\varepsilon}}^0.$$

Однако это неравенство может быть выполнено только в том случае, если продолжительность нагружения достаточна для того, чтобы максимум функции $\xi_{\dot{\varepsilon}}(\tau)$ был достигнут, т. е. неравенство (3.3) должно быть дополнено неравенством $\tau \geq \tau^*$ или с учетом (3.2)

$$(3.4) \quad \langle \dot{\varepsilon} \rangle \geq 2,32(1 + 10/\kappa) \langle \dot{\varepsilon} \rangle_*.$$

Величину $\langle \dot{\varepsilon} \rangle_*$ с достаточной точностью можно оценить из однородного решения уравнений (1.4)–(1.6) без учета упругих составляющих, поскольку в области достижения максимума σ_* локализация течения еще незначительна, а общая скорость деформации в основном определяется скоростью пластической деформации ($\partial \sigma / \partial t \approx 0$). Тогда

$$\langle \dot{\varepsilon} \rangle_* \approx \left[\frac{n(1+n)}{s\eta} \right]^{1/(n+1)}, \quad \sigma_* \approx \frac{\eta}{1+n} \left[\frac{n(1+n)}{s\eta} \right]^{n/(n+1)}.$$

Отметим, что критерий (3.3), (3.4) не является абсолютным, однако может быть использован для сравнения материалов по способности к локализации пластического течения.

Таким образом, численное моделирование развития возмущения пластического течения при простом сдвиге в упругопластической среде позволило установить некоторые закономерности локализации пластического течения, в частности наличие максимума в зависимости степени локализации пластического течения от средней деформации. Обнаружено, что прочность, термическое разупрочнение, средняя скорость деформации и теплопроводность влияют на процесс локализации через один параметр κ . Проведенные исследования позволяют сформулировать простые критерии локализации пластического течения.

ЛИТЕРАТУРА

1. Zener C., Hollomon J. H. Effect of strain rate upon plastic flow of steel // J. Appl. Phys.—1944.—N 15.
2. Rogers H. C. Adiabatic plastic deformation // Ann. Rev. Mater. Sci.—1979.—N 9.
3. Pan J. Perturbation analysis of shear strain localization in rate sensitive materials // Int. J. Solids and Struct.—1983.—V. 19, N 2.
4. Burns T. J. Approximate linear stability analysis of a model of adiabatic shear band formation // Quart. Appl. Math.—1985.—V. 43, N 1.
5. Fressengeas C., Molinari A. Instability and localization of plastic flow in shear at high strain rates // J. Mech. Phys. Solids.—1987.—V. 35, N 2.
6. Wright T. W., Walter J. W. On stress collapse in adiabatic shear bands // J. Mech. Phys. Solids.—1987.—V. 35, N 6.
7. Batra R. C. Effect of material parameters on the initiation and growth of adiabatic shear bands // Int. J. Solids and Struct.—1987.—V. 23, N 10.

г. Челябинск

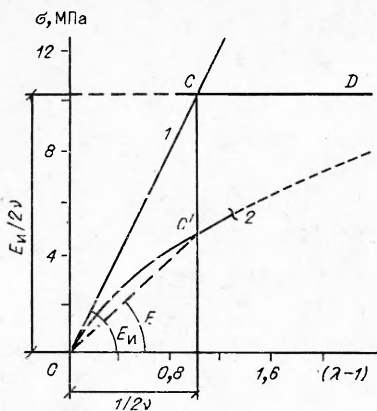
Поступила 15/VIII 1991 г.

УДК 678.4: 531

E. K. Лебедева

ХАРАКТЕРИСТИКИ УПРУГОСТИ ЭЛАСТОМЕРОВ

Для эластомеров, подвергшихся одноосному растяжению, введены две характеристики: коэффициент поперечного сжатия v и начальный модуль E_i . Для 10 типов используемых в обувной промышленности резин [1] введенные величины являются постоянными вплоть до деформаций разрыва. Показано, что по известным E_i и v можно вычислить модули сдвига G , Юнга E и объемной жесткости K резин. Коэффициенты



E_u , v , G , K , E (постоянные величины при больших упругих (высокоэластических) деформациях резин) вычисляются при одном виде деформации — одноосном растяжении — в отличие от коэффициентов линейных теорий.

Коэффициенты линейных теорий (коэффициент Пуассона v , модули Юнга E , сдвига G и объемной жесткости K) являются функциями деформаций, выражаются через постоянные E_u , v , G , K , E и при малых деформациях равны им.

Статистическая обработка результатов испытания на одноосное растяжение 10 типов резин [1] показала, что диаграммы растяжения резин в координатах истинное напряжение σ_u — относительное удлинение $(\lambda - 1)$ (λ — кратность растяжения) линейны:

$$(1) \quad \sigma_u = E_u(\lambda - 1).$$

Угловой коэффициент E_u прямых $\sigma_u = f(\lambda - 1)$, будучи постоянной величиной для каждой резины, по физическому смыслу представляет начальный модуль. Уравнение (1) было предложено в [2] как уравнение высокоеэластического состояния.

Диаграмма $\sigma_u = f(\lambda - 1)$ в отличие от обычно используемой условной $\sigma_0 = f(\lambda - 1)$ учитывает изменение площади поперечного сечения образца

$$(2) \quad \sigma_u = \sigma_0 S_0 / S$$

(σ_0 — условное напряжение). Площади S_0 и S поперечного сечения образца до и после деформации связаны соотношением [1]

$$(3) \quad S_0 / S = 1 + 2v(\lambda - 1),$$

где v — постоянная величина каждой резины. Относительное изменение объема образца при этом

$$(4) \quad \theta = \frac{(1 - 2v)(\lambda - 1)}{1 + 2v(\lambda - 1)}.$$

Из уравнений (1) — (3) получим

$$(5) \quad \sigma_0 = \frac{E_u(\lambda - 1)}{1 + 2v(\lambda - 1)}$$

или

$$(6) \quad \sigma_0 = \frac{-\frac{E_u}{(2v)^2}}{(\lambda - 1) + \frac{1}{2v}} + \frac{E_u}{2v}.$$

На рисунке показаны характерные диаграммы растяжения резин [1] в координатах условное напряжение σ_0 — относительное удлинение $(\lambda - 1)$ и истинное напряжение σ_u — относительное удлинение $(\lambda - 1)$ (линии 1 и 2). В соответствии с выражением (6) условная диаграмма асимптотически приближается к прямой CD , отстоящей от оси деформаций на расстоянии $E_u/2v$. Прямая CD пересекается с диаграммой σ_u — $(\lambda - 1)$ при $(\lambda - 1) = 1/2v$ в точке C . На условной диаграмме точке C соответствует E (при $v = 0$). Модули E_u и E связаны соотношением [3]

$$(7) \quad E_u = [1 + 2v(\lambda - 1)]E.$$

При малых деформациях ($\lambda \approx 1$) $E_u = E$, при больших $E_u = E$ только тогда, когда при одноосном растяжении площадь поперечного

сечения образца не изменяется ($v = 0$). В этом случае диаграммы σ_u — $(\lambda - 1)$ и σ_0 — $(\lambda - 1)$ линейны и совпадают.

Площадь поперечного сечения исследованных резин при растяжении изменяется [1, 2] ($v = 0,30 \div 0,49$), что ведет к неравенству $E_u \neq E$. Наибольшим образом изменяется площадь поперечного сечения несжимаемого материала ($v = 0,5$). В отличие от известного выражения

$$\bar{G} = E/2(1 + \bar{v})$$

в модели несжимаемого тела модуль сдвига равен

$$(8) \quad G = E_u = E\lambda.$$

Из (4) и (5) условное напряжение можно представить как

$$\sigma_0 = E_u\theta/(1 - 2v).$$

Здесь

$$(9) \quad K = E_u/(1 - 2v)$$

характеризует сопротивляемость резины объемной деформации.

Выражению (9) с учетом (7) можно придать вид

$$(10) \quad K = E[1 + 2v(\lambda - 1)]/(1 - 2v).$$

Отсюда при $v = 0,5$ (для несжимаемого материала) $K = \infty$, а при $v = 0$ $K = E$. Последнее равенство замечено в [4] при сжатии плоского имитатора, когда изменение поперечного сечения деформируемой резины исключено конструктивно.

При малых деформациях $E_u = E$, $v = \bar{v}$ и выражение (10) переходит в известное соотношение

$$K = E/(1 - 2\bar{v}).$$

Из уравнений (8) и (10) отношение модуля сдвига к модулю объемной жесткости при больших деформациях резин имеет вид

$$(11) \quad G/K = (1 - 2v)\lambda/[1 + 2v(\lambda - 1)]$$

в отличие от известного выражения

$$(12) \quad \bar{G}/\bar{K} = (1 - 2\bar{v})/2(1 + \bar{v}).$$

Из (11) и (12) следует, что, если при одноосном растяжении объем не изменяется ($\bar{v} = v = 0,5$), отношение модуля сдвига к модулю объемной жесткости при больших и малых деформациях равно нулю.

ЛИТЕРАТУРА

- Черных К. Ф., Лебедева Е. К. Изменение объема при одноосном растяжении реальных эластомеров // ПМТФ.— 1992.— № 1.
- Бартенев Г. М. Высокоэластичное состояние // Энциклопедия полимеров.— М.: Сов. энциклопедия, 1972.— Т. 1.
- Лебедева Е. К. Анализ площадей диаграмм растяжения // Изв. вузов. Технология лег. пром-сти.— 1988.— № 2.
- Милякова Л. В. Жесткость на сжатие плоского имитатора // Механика эластомеров.— Краснодар: КПИ, 1981.

г. Новосибирск

Поступила 17/V 1991 г.,
в окончательном варианте — 5/IX 1991 г.